



## طراحی بهینه چندهدفه انواع سیستم‌ها در دامنه‌های مختلف، به وسیله ادغام دو روش باندگراف و برنامه‌ریزی ژنتیک

بهزاد بهرامی‌جو، علی جمالی\*، نادر نریمان‌زاده

دانشکده مهندسی مکانیک، دانشگاه گیلان، رشت، ایران

### تاریخچه داوری:

دریافت: ۱۳۹۸/۰۱/۱۷

بازنگری: ۱۳۹۸/۰۵/۲۲

پذیرش: ۱۳۹۸/۰۶/۱۱

ارائه آنلاین: ۱۳۹۸/۰۶/۲۴

### کلمات کلیدی:

باندگراف

برنامه‌ریزی

ژنتیک

امپریو

چندهدفه

پارتتو

**خلاصه:** مدل‌سازی یکپارچه سیستم‌های فیزیکی در دامنه‌های مختلف، نیازمند یک زبان مشترک است. یکی از روش‌هایی که می‌توان به وسیله آن این کار را انجام داد، باندگراف نام دارد. این روش با استفاده از المان‌ها، باندها و اتصال‌های خود، ارتباط میان اجزای مختلف یک سیستم را تشریح می‌کند. همچنین می‌توان با استفاده از روش برنامه‌ریزی ژنتیک، مدل اولیه یک سیستم را بر اساس نیاز از یک حالت اولیه به حالت نهایی مطلوب توسعه داد. با استفاده از ویژگی جستجوپذیری بالا و مدل‌سازی شماتیک روش باندگراف، می‌توان مدل اولیه سیستم در دامنه الکتریکی یا مکانیکی را بر اساس خروجی مورد نظر، به یک مدل باندگراف نهایی مدل‌سازی کرد. مدل اولیه یک سیستم در روش باندگراف، امپریو نام دارد و بایستی دارای ورودی، خروجی و المان‌های اصلی یک سیستم باشد. با تعریف مجموعه‌ای از توابع عملیاتی در برنامه‌ریزی ژنتیک، مدل امپریو توسعه داده می‌شود و مدل نهایی باندگراف در دو حالت تک‌هدفه و چندهدفه پارتویی به دست می‌آید. این پژوهش با ادغام دو روش باندگراف و برنامه‌ریزی ژنتیک، ابزار طراحی مناسبی جهت توسعه یک مدل را در اختیار کاربر قرار می‌دهد. به منظور بررسی عملکرد روش ارائه شده جهت مدل‌سازی با باندگراف، ابتدا نتایج آن با نرم‌افزار ۲۰-سیم مقایسه شده و سپس به وسیله آن، دو مدل فیلتر الکتریکی و یک مدل سیستم جرم، فنر و میراگر طراحی می‌گردد و نتایج با مرجع مقایسه می‌شود.

روش بهمنظور مدل‌سازی و شبیه‌سازی انواع سیستم‌ها استفاده کرده‌اند. شجاعی بارجوبی و همکاران [۲] با استفاده از روش مدل‌سازی باندگراف، یک مدل‌سازی دینامیکی از سیستم اسکلت خارجی<sup>۱</sup> ارائه دادند که در آن موتور الکتریکی جریان مستقیم<sup>۲</sup>، جعبه‌دنده متغیر، سنسور گشتاور و اندام انسان مدل‌سازی شده بود. هدف اصلی مقاله آن‌ها این بود که مزایای روش باندگراف را برای مدل‌سازی و درک بهتر دینامیک اسکلت خارجی نشان دهند. در تحقیق دیگر سمدار و همکاران [۴] در مقاله خود با استفاده از روش باندگراف یک سیلندر موتور متصل به یک فلاپیول اینرسی-متغیر را مدل‌سازی و شبیه‌سازی کردند تا عملکرد دینامیکی آن را بررسی کنند. زنگ و همکاران [۵] نیز با استفاده از روش باندگراف یک مدل از پیل سوختی اکسید جامد<sup>۳</sup>

### ۱- مقدمه

مدل کردن سیستم‌های چند دامنه، نیازمند یک زبان مشترک است که بتواند با یک قالب مشخص از عهده مدل‌سازی آن برآید. یکی از بهترین روش‌هایی که می‌تواند انواع سیستم‌ها را در دامنه‌های مختلف مدل کند، باندگراف نام دارد. باندگراف یک زبان مشترک و جامع برای توصیف المان‌های پایه‌ای یک سیستم است و ارتباط میان دامنه‌های مختلف را نشان می‌دهد.

روش باندگراف اولین بار در سال ۱۹۶۸ توسط کارنوب و روزنبرگ [۱] معرفی شد. این روش برای مدل‌سازی سیستم‌های دینامیکی مختلف به کار می‌رود و دارای مزایایی همانند سادگی، عمومیت، یکپارچگی و ارائه صریح است [۲]. تاکنون محققان مختلفی از این

1 Exoskeleton

2 Direct Current (DC)

3 Solid Oxide Fuel Cell

(Creative Commons License) حقوق مؤلفین به نویسنده‌دار مکاتبات: ali.jamali@guilan.ac.ir

در دسترس شما قرار گرفته است. برای جزئیات این لیسانس، از آدرس <https://www.creativecommons.org/licenses/by-nc/4.0/legalcode> دیدن فرمائید.



یک نگاشت بین این دو روش انجام می‌گیرد. دو المان اصلی این نگاشت، مدل امپریو و توابع عملیاتی است که طراحی آن‌ها به عهده کاربر است و در ادامه به آن اشاره خواهد شد.

بخش دیگری که در طراحی یک سیستم می‌تواند مورد توجه قرار گیرد، نحوه مدل‌سازی و چینش اجزای سیستم در کنار یکدیگر است. به طوری که سیستم مورد نظر با حداقل هزینه مصرفی، بهترین پاسخ‌های مورد نیاز کاربر را به خروجی بدهد. در این مقاله با ادغام دو روش برنامه‌ریزی ژنتیک و باندگراف، روش مدل‌سازی‌ای ارائه می‌شود که بتواند بنا به نیاز کاربر، سیستمی ایجاد کند که در بخش‌های مختلف فعالیت کرده و توپولوژی مناسب را هم به دست آورد.

روش برنامه‌ریزی ژنتیک یک روش تکاملی برای ایجاد فرآیند یک مدل است. این روش اولین بار در سال ۱۹۹۲ توسط کوزا<sup>۲</sup> معرفی شد. کوزا تاکنون از برنامه‌ریزی ژنتیک برای طراحی مدارهای الکتریکی مختلف شامل چندین فیلتر پایین‌گذر و کنترلر استفاده کرده است [۸-۱۲]. او همچنین در مقاله‌های خود به خوبی از روش برنامه‌ریزی ژنتیک برای طراحی مصنوعی خودکار توپولوژی و بهینه کردن انواع گوناگون کنترلرها در پلتفرم‌های موازی بهره گرفته است [۹، ۱۰، ۱۳، ۱۴]. جمالی و همکاران [۱۵] یک مدل‌سازی از سیستم‌های غیرخطی پیچیده را با استفاده از روش برنامه‌ریزی ژنتیک چنددهفه ارائه دادند. آن‌ها در این مقاله، دو سری داده‌های ورودی و خروجی یک مدل ریاضی غیرخطی و یک سری داده فرآیند برش انفجاری را بررسی کردند. از کارکردهای دیگر برنامه‌ریزی ژنتیک می‌توان به زمینه پیش‌بینی میزان انرژی مصرفی اشاره کرد. طهماسبی و گندمی [۱۶]، با استفاده از روش برنامه‌ریزی ژنتیک، عملکرد انرژی را در ساختمان‌های مسکونی فرمول‌بندی کردند. آن‌ها در مقاله خود با استفاده از این روش، معادله‌ای طراحی کردند که بتواند بارهای سرمایشی و گرمایشی موجود در ساختمان را پیش‌بینی کنند. نتایج تحقیق آن‌ها نشان داد که برنامه‌ریزی ژنتیک چنددهفه ابزاری مناسب برای تولید یک مدل جامد از سیستم‌های غیرخطی پیچیده با توانایی حل مسائل داده‌های عظیم توسط الگوریتم مواری است.

کارکرد جزیره‌ای<sup>۳</sup> یک مساله مهم بین ابزارهای توزیع انرژی و صاحبان تولید پراکنده انرژی<sup>۴</sup> است، چرا که می‌تواند باعث به خطر افتادن امنیت کارگران و مصرف‌کنندگان شود و به تجهیزات

ارائه کردد که در آن فرآیندهای انتقال، واکنش‌های الکتروشیمیایی و شیمیایی شبیه‌سازی و ارزیابی شد. مدل آن‌ها به دلیل استفاده از این روش مدل‌سازی، به راحتی قادر است تا تبادل انرژی و جریان را بین بخش‌های مختلف فیزیکی سیستم نشان دهد. ربات‌های پادار در مقایسه با ربات‌های چرخ‌دار می‌توانند به راحتی به هر سمتی حرکت کنند. علاوه‌بر آن ربات‌های پادار تماس مداوم با زمین ندارند و در نتیجه به راحتی می‌توانند از موانع عبور کنند. سوهارو و همکاران [۶] در مقاله خود مکانیزم یک ربات چهارپای پایدار را به وسیله باندگراف مدل‌سازی و شبیه‌سازی کردند که قادر است انواع پیاده‌روی‌ها را انجام دهد. آن‌ها پس از مدل‌سازی، نتایج به دست آمده برای انواع حرکت روبات را به منظور بررسی بهبود مصرف انرژی مورد مقایسه قرار دادند. لوزانی و همکاران [۷] در مقاله‌ای یک مدل‌سازی دینامیکی از ژنراتور فتوولتائیک را به وسیله روش باندگراف ارائه کردند. بدین منظور آن‌ها یک مدار معادل از ژنراتور فتوولتائیک را با دو مدل تک و دو دیوده ارائه دادند. آن‌ها مدل ریاضی را هم با اعمال المان‌های باندگراف و قوانین آن استخراج کردند و در انتها نتایج شبیه‌سازی را با مدل تجربی مقایسه کرده و مشابهت نتایج را ارائه کردند.

اکثر سیستم‌های کنترلی دارای بخش‌های مختلف مهندسی هستند. بخش‌هایی که آن سیستم‌ها را به سیستم مکاترونیکی تبدیل می‌کند. این نوع سیستم‌ها علاوه بر بخش مکانیکی، می‌توانند بخش‌هایی مانند الکتریکی، هیدرولیکی و یا گرمایی هم داشته باشند. باندگراف ساختار معماري یک سیستم را نشان می‌دهد، بدین معنی که یک ترکیب آزاد از باندها و اتصال‌ها می‌توانند به محلهای مختلف مدل اضافه شود و یک مدل جدید با یک توپولوژی جدید را بسازند. این ویژگی رشد نامحدود باندگراف، قابلیت جستجو در بازه گسترده‌ای از توپولوژی‌ها را در زمینه طراحی و بهینه‌سازی، فراهم می‌آورد. به عبارت دیگر، استفاده از باندگراف در طراحی سیستم‌های مکانیکی و الکتریکی می‌تواند باعث ایجاد ابزارهای بهینه‌سازی شود که نه تنها گسترش‌پذیری سیستم را محدود نمی‌کند، بلکه توپولوژی مدل را هم بهینه می‌کند. برای جستجو در انواع توپولوژی می‌توان از روش برنامه‌ریزی ژنتیک<sup>۱</sup> استفاده کرد و انعطاف‌پذیری گرافیکی باندگراف و قابلیت جستجوی وسیع برنامه‌ریزی ژنتیک، می‌تواند عامل تاثیرگذاری در ادغام این دو روش قادر تمند با یکدیگر باشد. عمل ادغام، با ایجاد

2 Koza

3 Islanding

4 Distributed generation

1 Genetic Programming

مرحله اول، توپولوژی بهینه طراحی شده و مقادیر المان‌ها به صورت تقریبی تنظیم می‌گردد، اما از آن‌جا که این بخش از شبیه‌سازی روی طراحی توپولوژی تمرکز دارد، ممکن است مقادیر پارامترها به طور کامل بهینه و تنظیم نشوند. به همین جهت در انتهای مرحله اول شبیه‌سازی بخشی قرار داده می‌شود که ابتدا المان‌های بهترین سیستم به دست آمده را شناسایی کرده و سپس با بهینه کردن مقادیر آن‌ها در یک بهینه‌سازی ثانویه، میزان مطابقت پاسخ سیستم طراحی شده نهایی را با مدل مطلوب به حداکثر میزان خود برساند. مدت زمان شبیه‌سازی مرحله دوم در مقایسه با مرحله اول به مراتب کمتر بوده و کاربر می‌تواند دقت آن را بنا به نیاز خود کاهش یا افزایش دهد.

بخش دوم نوآوری مقاله مربوط به استفاده از مفهوم طراحی پارتویی در ادغام دو روش باندگراف و برنامه‌ریزی ژنتیک می‌شود. در تحقیق‌های مرجع، طراحی با استفاده از ادغام دو روش باندگراف و برنامه‌ریزی ژنتیک به صورت تک‌هدهفه انجام گرفته است. مشکل این روش محدودیت کاربر در استخراج نتایج دلخواه است. نویسنده‌گان در مرجع [۲۳] میزان پیچیدگی پاسخ را در محاسبه برازنده‌گی لحاظ کرده‌اند تا پاسخ‌هایی نسبتاً مطلوب با تعداد عمق نمودار درختی کم‌تر به دست آورند، اما از آن‌جا که کاربر نمی‌تواند مشخص کند تا کاهش پیچیدگی تا چه اندازه صورت گیرد، فرآیند شبیه‌سازی ممکن است پاسخ‌هایی با پیچیدگی کم و با خطای زیاد تولید کند. در این تحقیق با استفاده از طراحی چند‌هدهفه پارتویی و با در نظر گرفتن عمق نمودار درختی به عنوان تابع هدف دوم نتایجی به دست می‌آید که کاربر قادر باشد تا به راحتی بین میزان دقت و پیچیدگی پاسخ انتخاب انجام دهد.

## ۲- ادغام روش باندگراف و برنامه‌ریزی ژنتیک

در این مقاله ادغام دو روش باندگراف و برنامه‌ریزی ژنتیک از تحقیق‌هایی که تاکنون در این زمینه صورت گرفته [۲۰-۲۳]، الهام گرفته شده است. در این بخش نحوه مدل‌سازی سیستم‌ها به روش باندگراف در نرم‌افزار متلب<sup>۱</sup> و نحوه ادغام این روش با روش برنامه‌ریزی ژنتیک توضیح داده می‌شود و توابع عملیاتی مربوط به تشکیل ساختار درختی نمودار باندگراف ارائه می‌گردد.

### ۲-۱- مدل‌سازی سیستم دینامیکی به وسیله باندگراف

به منظور طراحی یک سیستم به وسیله روش باندگراف از نرم‌افزار

سیستم‌های توزیع نیرو آسیب جدی وارد کند. بنابراین زمانی که جزیره‌ای شدن شبکه برق پیش آید، یک سیستم توزیع پراکنده با پایستی قطع شود. در همین راستا پدرینو و همکاران [۱۷] در مقاله‌ای با استفاده از روش برنامه‌ریزی ژنتیک چندزنه، مجموعه‌ای از روابط ریاضی و توابع منطقی به دست آورده که بتواند جزیره‌ای شدن شبکه برق را به درستی شناسایی و دسته‌بندی کند. در نهایت نتایج تحقیق آن‌ها نشان داد که روش ارائه شده در جداسازی و قایع جزیره‌ای شدن از اغتشاشات به خوبی عمل می‌کند.

از اولین افرادی که به ادغام این دو روش با یکدیگر پرداختند، به روزنبرگ و همکاران [۱۸] می‌توان اشاره کرد که در سال ۲۰۰۱ در مقاله‌ای به برخی نکات مهم در طراحی سیستم‌های مکاترونیکی توسط دو روش برنامه‌ریزی ژنتیک و باندگراف اشاره کردند و این ادغام این دو روش را مورد بررسی قرار دادند. یک سال بعد، گودمن و همکاران [۱۹] با ادغام دو روش باندگراف و برنامه‌ریزی ژنتیک، روشی را برای طراحی خودکار سیستم‌های چند دامنه مکاترونیکی ارائه دادند. آن‌ها روش پیشنهادی خود را بر روی دو مسئله طراحی پیاده‌سازی کردند. مسئله اول که مستقل از دامنه است، به جای دهی مقادیر ویژه و یافتن آن‌ها توسط روش پیشنهادی مربوط می‌شود. قسمت دیگر، یک مسئله در دامنه الکترونیکی است که در آن طراحی فیلتر آنالوگ به منظور رسیدن به بازدهی مشخص در طول یک بازه فرکانسی مشخص، هدف تحقیق بود.

بهبهانی و دسلیوا [۲۰-۲۲] با استفاده از ادغام دو روش باندگراف و برنامه‌ریزی ژنتیک، طراحی یک مکانیزم قطع سر ماهی را بهبود بخشیدند. در سال ۲۰۱۵ سamarakon و همکاران [۲۳] در مقاله خود سیستم صنعتی قطع سر ماهی را که قبلاً توسط دسلیوا و همکاران طراحی شده بود، بهینه کردند. علاوه بر آن، آن‌ها در مقاله خود، عملکرد که ارائه شده را روی دو فیلتر الکترونیکی میان‌ناگذر و میان‌گذر و یک سیستم مکانیکی جرم، فنر و میراگر بررسی کردند.

طباطبایی و همکاران [۲۴] با استفاده از ادغام روش برنامه‌ریزی ژنتیک استنتاجی با باندگراف، روی طراحی بهینه یک دسته موتور هیدرولیکی کار کردند. آن‌ها در مقاله خود، بهبود عملکرد روش طراحی‌شده‌شان را در مقایسه با روش ادغام باندگراف و برنامه‌ریزی ژنتیک مرسوم، نشان دادند.

نوآوری اصلی این مقاله در دو بخش جداگانه انجام می‌پذیرد. در

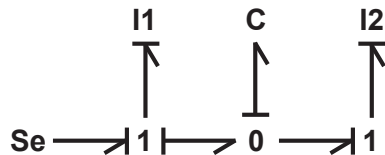


Fig. 1. Presenting a system with bond graph method

شکل ۱: مدل نمایش یک سیستم به وسیله روش باندگراف

باشد مقدار ستون چهارم به عدد ۲ تغییر پیدا می‌کند. باندهای TF و GY بین جریان‌ها و ولتاژهای المان‌های مختلف سیستم، یک رابطه خطی با ضریب مشخص ایجاد می‌کنند.

برنامه نوشته شده در متلب با دریافت ماتریس‌های شناسه که نمایانگر مدل باندگراف سیستم هستند، معادله‌های دینامیکی مساله را تشکیل داده و براساس متغیرهای حالت سیستم، ماتریس A را بر اساس رابطه (۳) تشکیل می‌دهد. همانطور که در شکل ۱ مشخص است، هر اتصال بسته به نوعی که دارد، یک متغیر اختیار می‌کند. بهنحوی که اتصال نوع یک<sup>۱</sup> متغیر جریان (i) و اتصال نوع صفر<sup>۲</sup> متغیر ولتاژ (v) اختیار خواهد کرد. با توجه به اتصال‌ها و المان‌های موجود در نمودار باندگراف شکل ۱، ماتریس A رابطه (۳) به شکل رابطه (۴) نوشته می‌شود.

$$Ax = 0 \quad (3)$$

$$A = \begin{bmatrix} -1 & 0 & 0 & 0 & 0 & 0 & 0 & 1 & 0 & -1 \\ -1 & 0 & 0 & I_1 & 0 & 0 & 0 & 0 & 0 & 0 \\ 0 & 1 & 0 & 0 & 0 & 0 & -1 & 0 & 1 & 0 \\ 0 & -1 & 0 & 0 & C_1 & 0 & 0 & 0 & 0 & 0 \\ 0 & 0 & 1 & 0 & 0 & 0 & 0 & -1 & 0 & 0 \\ 0 & 0 & -1 & 0 & 0 & I_2 & 0 & 0 & 0 & 0 \end{bmatrix} \quad (4)$$

$$A = [v_{I_1} \ i_{C_1} \ v_{I_2} \ i_1 \ v_1 \ i_2 \ i_1 \ v_1 \ i_2 \ S_e]^\top \quad (5)$$

1 1-Junction  
2 0-Junction

متلب کمک گرفته می‌شود. برای انجام این کار، هر مدل باندگراف توسط دو ماتریس شناسه تعریف می‌شود. در شکل ۱ یک نمودار باندگراف از یک سیستم تصادفی نشان داده شده است.

همان‌طور که ذکر شد، می‌توان برای این نمودار، دو ماتریس شناسه تعریف کرد. در روابط (۱) و (۲)، ماتریس‌های X و Y به عنوان ماتریس‌های شناسه نمودار باندگراف شکل ۱ شناخته می‌شوند.

$$X = \begin{bmatrix} 1J0 & 1 & 0 & I1 & 0 & Se & 1 \\ 0J0 & 0 & 0 & 0 & C1 & 0 & 0 \\ 1J1 & 1 & 0 & I2 & 0 & 0 & 0 \end{bmatrix} \quad (1)$$

$$Y = \begin{bmatrix} b1 & 1J0 & 0J0 & 0 & 0 \\ b2 & 0J0 & 1J1 & 0 & 0 \end{bmatrix} \quad (2)$$

ماتریس X، مشخصات اتصال‌ها و المان‌های متصل شده به آن‌ها را مشخص می‌کند. به صورتی که ستون اول و دوم به ترتیب نمایان‌گر نام و نوع اتصال‌ها، ستون سوم الی پنجم، به ترتیب نمایان‌گر وجود یا عدم وجود المان‌های مقاومت (R)، سلف (I) و خازن (C) و در نهایت ستون ششم و هفتم، نام و نوع ورودی سیستم را مشخص می‌کند. همچنین ماتریس Y مشخصات باندهای بین اتصال‌ها و نوع آن‌ها را تعیین می‌کند. ستون اول این ماتریس نام باند و ستون دوم و سوم هم اتصال‌هایی که باند مذکور آن‌ها را به یکدیگر وصل کرده است، مشخص می‌کند. ستون چهارم و پنجم هم مدل و مقدار عددی در صورت وجود) باند را تعیین می‌کند. در صورتی که نوع باند از نوع TF باشد، مقدار ستون چهارم برابر ۱ و در صورتی که نوع باند از نوع

**جدول ۱: پارامترهای نمونه نمودار باندگراف شکل ۱**

Table 1. Parameters of the example bond graph model in Fig. 1

مقدار	پارامتر
۱۰	$I1$
۱۰۰	$I2$
۰/۰۰۱	$C1$

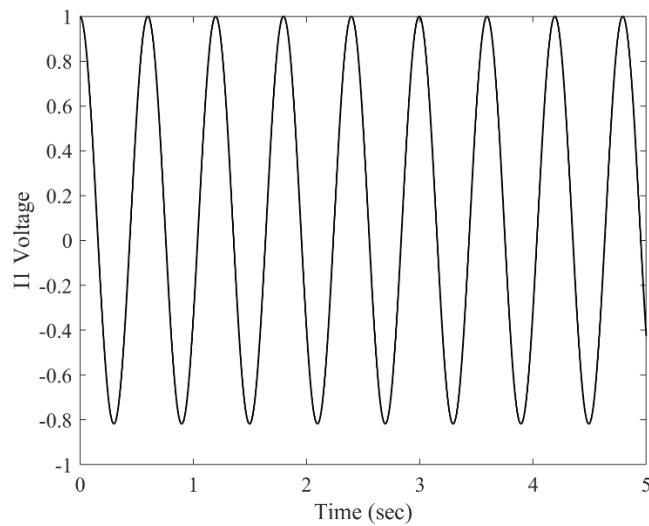


Fig. 2. Time response of  $I1$  voltage for bond graph model of Fig. 1

شکل ۲: پاسخ زمانی ولتاژ المان  $I1$  نمودار باندگراف شکل ۱

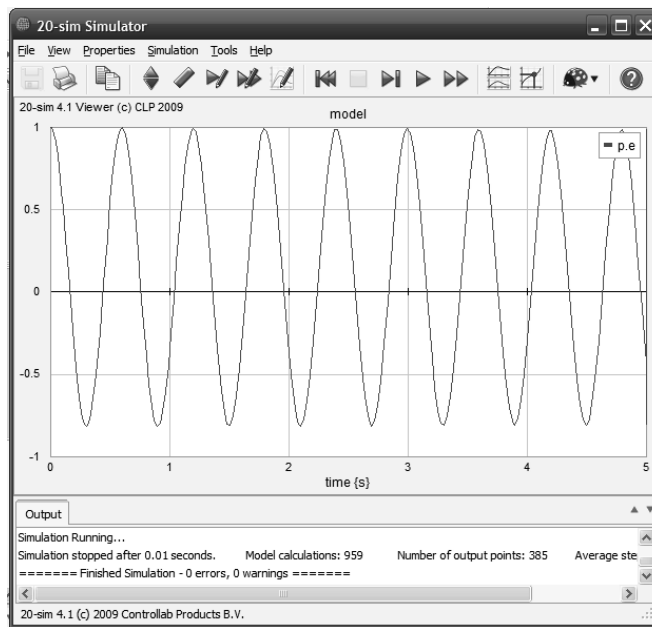


Fig. 3. Time response of  $I1$  voltage obtained from 20-sim software for bond graph model of Fig. 1

شکل ۳: پاسخ زمانی ولتاژ المان  $I1$  بدست آمده از نرمافزار ۲۰-سیم مربوط به نمودار باندگراف شکل ۱

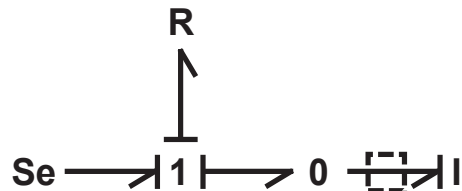


Fig. 4. An example of the embryo bond graph model

شکل ۴: نمونه نمودار باندگراف امپریو

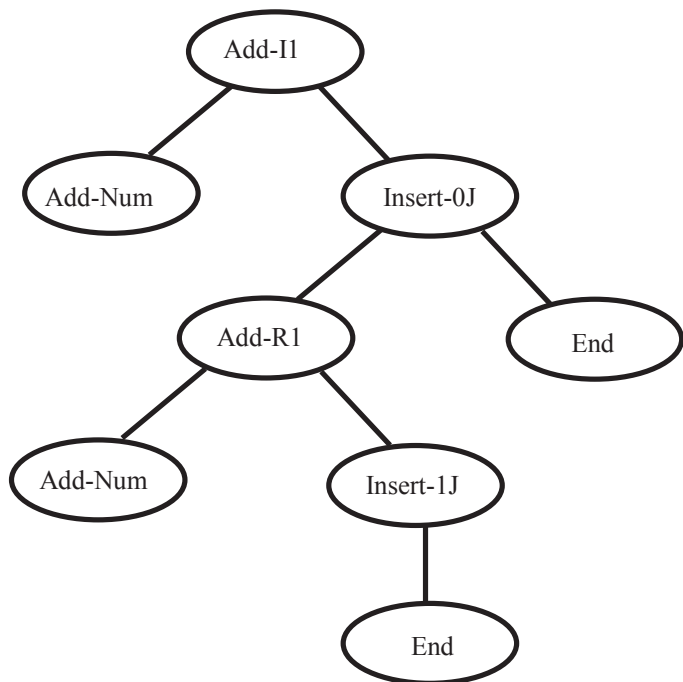


Fig. 5. An example of GP tree of the Add-Element function (Add-I)

شکل ۵: نمونه نمودار درختی مربوط به تابع Add-Element (در اینجا Add-I)

جدول ۲: کدهای مربوط به توابع عملیاتی ادغام باندگراف و برنامه‌ریزی ژنتیک

Table 2. Construction functions codes for integrating bond graph and genetic programming

تابع عملکردی	کد
Add-R	[۱,۱]
Add-I	[۱,۲]
Add-C	[۱,۳]
Insert-0J	[۲,·]
Insert-1J	[۲,۱]
Add-Numerical	[۳,·]
End	[۴,·]

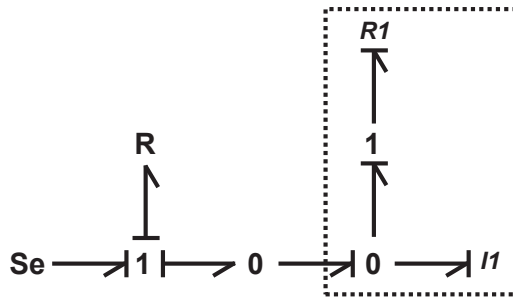


Fig. 6. Evolved bond graph of Fig. 4 model

شکل ۶: نمودار باندگراف توسعه یافته شکل ۴

۱۱ گرفته می‌شود که نمودار پاسخ زمانی آن در شکل ۳ نشان داده شده است. همانطور که مشخص است، این نمودار با نمودار شکل ۲ که از کد طراحی شده این تحقیق به دست آمده است، مطابقت کامل دارد.

## ۲-۲- ادغام دو روش باندگراف و برنامه‌ریزی ژنتیک

همانطور که پیشتر ذکر شد، از روش برنامه‌ریزی ژنتیک می‌توان برای طراحی توپولوژی سیستم‌ها استفاده کرد. در این مقاله نحوه توسعه یک مدل باندگراف با استفاده از روش برنامه‌ریزی ژنتیک، توضیح داده می‌شود. همانند مسائل عمومی برنامه‌ریزی ژنتیک، این روش هم نیازمند یک مدل مرجع است که سیستم براساس آن از یک حالت اولیه توسعه پیدا کند. مدل اولیه باندگراف، امپریو نامیده می‌شود. امپریو باید ورودی، خروجی و برخی از المان‌های اصلی سیستم نهایی را داشته باشد. شکل ۴ یک نمونه مدل امپریو را نشان می‌دهد. برای توسعه یک مدل امپریو، به باند یا اتصال قابل تغییر نیاز است. به منظور توسعه این مدل، روی باند متصل به المان I<sub>1</sub>، یک باند بخش قابل تغییر قرار داده شده است. باند قابل تغییر با مربع خط‌چین و در صورت نیاز اتصال قابل تغییر با دایره خط‌چین نشان داده می‌شود.

روی باند قابل تغییر، یک اتصال و روی اتصال قابل تغییر، یک المان می‌توان قرار داد. یک نمونه از نمودار درختی طراحی شده توسط روش برنامه‌ریزی ژنتیک در شکل ۵ نشان داده شده است. این نمودار درختی روی یک باند قابل تغییر اعمال می‌شود. نمودارهای درختی شامل توابع عملیاتی مشخصی هستند که هر کدام وظیفه مشخصی به عهده دارند. تابع Add-Element، وظیفه اضافه کردن یک المان به اتصال، تابع Insert-Junction وظیفه افزودن

به منظور ایجاد معادلات فضای حالت، فرم گوس-جردن ماتریس استخراج می‌گردد که در رابطه (۶) نشان داده شده است.

$$A_{sorted} = \begin{bmatrix} 1 & 0 & 0 & 0 & 0 & 0 & 0 & 1 & 1 & -1 \\ 0 & 1 & 0 & 0 & 0 & 0 & -1 & 0 & 1 & 0 \\ 0 & 0 & 1 & 0 & 0 & 0 & 0 & -1 & 0 & 0 \\ 0 & 0 & 0 & 1 & 0 & 0 & 0 & 1/I_1 & 0 & -1/I_1 \\ 0 & 0 & 0 & 0 & 1 & 0 & -1/C_1 & 0 & 1/C_1 & 0 \\ 0 & 0 & 0 & 0 & 0 & 1 & 0 & -1/I_2 & 0 & 0 \end{bmatrix} \quad (6)$$

حال با استفاده از فرم مرتب شده ماتریس A، کد برنامه قادر خواهد بود تا خروجی مورد نیاز کاربر را استخراج کرده و نمودار آن را رسم کند. مقادیر المان‌های این سیستم در جدول ۱ نشان داده شده است. لازم به ذکر است که این مقادیر کاملاً تصادفی بوده و صرفاً به منظور مقایسه خروجی کد مطلب با نرم‌افزار ۲۰-سیم انتخاب شده‌اند.

با در نظر گرفتن ورودی پله واحد (Se=1)، مقدار پاسخ زمانی خروجی ولتاژ المان I<sub>1</sub> در شکل ۲ نشان داده می‌شود. لازم به ذکر است که مقدار ورودی در صورتی که از نوع Se باشد، در دامنه الکتریکی، معادل ولتاژ و در دامنه مکانیکی معادل نیرو است. همچنین مدت زمان شبیه‌سازی پنج ثانیه در نظر گرفته می‌شود.

به منظور بررسی عملکرد صحیح خروجی گرفته شده از کد مطلب، مدل شکل ۲ در نرم‌افزار تحلیل دینامیکی ۲۰-سیم مدل‌سازی می‌شود. ۲۰-سیم ابزاری است که به وسیله مدل‌سازی شماتیک می‌توان انواع سیستم‌های دینامیکی را در آن مدل‌سازی کرد. پس از اعمال مشخصات سیستم شکل ۱ در این نرم‌افزار، خروجی ولتاژ المان

**جدول ۳:** پارامترهای اولیه فرآیند ادغام باندگراف و برنامه‌ریزی ژنتیک  
Table 3. Initial parameters for integrating bond graph and genetic programming process

پارامترهای طراحی	مقدار
جمعیت اولیه	۸۰
تعداد نسل	۱۶۰
عمق درخت اولیه	۹
حداکثر عمق مجاز	۱۳
درصد احتمال جهش	۰/۲
درصد احتمال تقاطع	۰/۸
درصد احتمال افزودن المان $R$	۰/۳۳
درصد احتمال افزودن المان $I$	۰/۳۳
درصد احتمال افزودن المان $C$	۰/۳۴
درصد درختهای با عمق کامل	۴۰
درصد جمعیت بدون تغییر	۴۰

توسعه یافته نهایی را شکل می‌دهند. پس از تشکیل جمعیت اولیه همانند روش برنامه‌ریزی ژنتیک مرسوم، عملیات‌های برش<sup>۱</sup> و جهش<sup>۲</sup> روی جمعیت‌ها اعمال می‌شود تا پراکندگی هر نسل افزایش پیدا کند. همچنین برخی از جمعیت‌تولید شده در هر نسل به صورت دست‌نخورده باقی می‌ماند و به نسل بعدی منتقل می‌شود. دلیل انجام این کار این است که اگر این جمعیت‌های جدید تولید شده، پاسخ احتمالی خوبی را در خود جای داده باشند، بدون تغییر به نسل‌های بعدی منتقل شوند. در زمان اعمال عملگر برش، بایستی توجه داشت که نوع تابع عملیاتی دو خانه‌ای که قرار است با یکدیگر عوض شوند، یکی باشد. برای مثال، اولاً یک تابع Add-Element از درخت اول حتماً باید با یک تابع Add-Element از درخت دوم عوض شود. دوماً ترجیح داده می‌شود که نوع المان‌ها هم با یکدیگر یکسان باشند؛ به عنوان مثال، تابع Add-R درخت اول با تابع Add-R از درخت دوم عوض شود. دلیل اهمیت این موضوع این است که در برخی مسائل، دامنه تغییرات مقدار یک المان نوع  $R$  ممکن است تفاوت چشمگیری با یک المان نوع  $C$  داشته باشد.

به منظور انجام شبیه‌سازی، مجموعه‌ای از پارامترهای اولیه بایستی در نظر گرفته شود. به عنوان مثال، درصد احتمال ایجاد المان‌های  $R$ ،  $I$  و  $C$  وحداکثر عمق مجاز درخت در برنامه بایستی مشخص شود تا

<sup>1</sup> Crossover<sup>2</sup> Mutation

اتصال با نوع مشخص و تابع End وظیفه بستن شاخه درخت را به عهده دارند. هر تابع Add-Element می‌تواند حداکثر دو زیرشاخه داشته باشد. بر این اساس ممکن است زیرشاخه آن تنها یک بخش محاسباتی Add-Num یا علاوه بر آن یک زیرشاخه دیگر تحت عنوان Insert-Junction هم داشته باشد. بخش محاسباتی Add-Num مقدار المان شاخه اصلی مربوطه را تعیین می‌کند. به همین ترتیب، تابع عملیاتی Insert-Junction هم ممکن است تا حداکثر دو زیرشاخه را اختیار کند. اگر این تابع یک زیرشاخه داشته باشد، آن زیرشاخه و در صورتی که زیرشاخه دیگری هم داشته باشد، آن زیرشاخه End و در خواهد بود. حال پس از توضیح راجع به نحوه عملکرد Add-Element نمودار درختی مربوط به ادغام دو روش باندگراف و برنامه‌ریزی ژنتیک، نحوه اعمال این نمودار درختی، به مدل امپریوی باندگراف و بخش قابل تغییر مربوطه، مورد بررسی قرار می‌گیرد. با اعمال نمودار درختی شکل ۵ به مدل امپریوی شکل ۴، مدل توسعه یافته شکل ۶ بدست آمده است.

به منظور شناساندن توابع عملیاتی به برنامه طراحی شده در متلب، برای هر کدام از آن‌ها یک کد بایستی در نظر گرفته شود. این کدها در جدول ۲ نشان داده شده‌اند پس از ایجاد هر نمودار درختی، مرحله به مرحله این توابع به نمودار باندگراف امپریو اعمال می‌شوند و در نهایت سیستم



Fig. 7: Embryo model of band pass filter [23]: a) Electrical circuit, b) Bond graph presentation

شکل ۷: مدل امبریوی فیلتر میان‌گذر [۳۲]: (الف) مدار الکتریکی، (ب) نمودار باندگراف

جدول ۴: پارامترهای بدست آمده از فیلتر میان‌گذر قبل و بعد بهینه‌سازی

Table 4. Values of obtained elements for designed band pass filter before and after optimization

پارامترهای طراحی	قبل از بهینه‌سازی	پس از بهینه‌سازی
$C1$	$1/433 \times 10^{-7}$	$1/433 \times 10^{-7}$
$I1$	$7/847 \times 10^{-3}$	$7/908 \times 10^{-3}$
$I2$	$3/631 \times 10^{-3}$	$3/684 \times 10^{-3}$
$I3$	$4/593 \times 10^{-3}$	$5/011 \times 10^{-3}$
$I4$	$3/020 \times 10^{-3}$	$3/019 \times 10^{-3}$
$C2$	$1/157 \times 10^{-7}$	$1/231 \times 10^{-7}$

بهصورتی که  $H_{act}(\omega(i))$  مقدار پاسخ فرکانسی خروجی مساله در فرکانس آم و  $H_{des}(\omega(i))$  مقدار پاسخ فرکانسی مطلوب در فرکانس آم است.

پس از استخراج بهترین پاسخ، باید به این نکته توجه داشت که سیستم نهایی بدست آمده از نظر کد طراحی شده، دارای بهترین توپولوژی است، اما ممکن است مقادیر المان‌های آن در بهینه‌سازی مقدار خود قرار نداشته باشند. بر همین اساس، پس از اتمام مراحل شبیه‌سازی، یک برنامه کمکی اجرا می‌شود و المان‌های توسعه یافته بهترین پاسخ را شناسایی کرده و مقادیر آن‌ها را وارد یک مرحله بهینه‌سازی جدید می‌کند. بر این اساس، مرحله دوم بهینه‌سازی پس از شناسایی المان‌ها، آن‌ها را به عنوان متغیر طراحی در نظر می‌گیرد و حد بالا و پایین آن‌ها را تعیین می‌کند. سپس با اجرای الگوریتم ژنتیک مرسوم، یک بهینه‌سازی روی بهترین پاسخ اجرا می‌شود

طراحی بر مبنای آن‌ها انجام گیرد. پارامترهای اولیه طراحی در جدول ۳ نشان داده شده است.

در این مقاله اختلاف خطای بین پاسخ فرکانسی تابع تبدیل بدست آمده در این مقاله و مدل مرجع [۲۳] به عنوان تابع هدف اصلی در نظر گرفته می‌شود. خطای دو پاسخ فرکانسی بدین صورت اندازه‌گیری می‌شود که ابتدا بازه فرکانسی مورد نظر در بستر لگاریتمی، به واحد مشخص تقسیم می‌گردد و سپس اختلاف پاسخ‌های فرکانسی سیستم بدست آمده و سیستم مطلوب در هر واحد، به صورت قدر مطلق با یکدیگر جمع می‌شوند [۲۳]. رابطه (۷) نحوه محاسبه تابع هدف مساله را نشان می‌دهد.

$$E = \sum_{i=1}^{i=n} |H_{act}(\omega(i)) - H_{des}(\omega(i))| \quad (7)$$

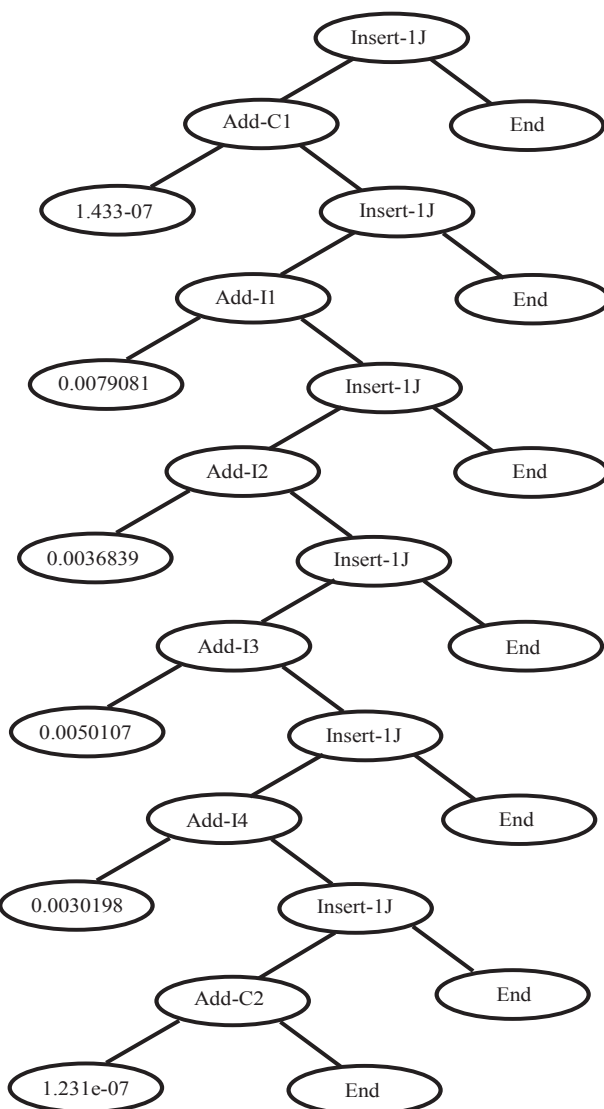


Fig. 8. GP tree of best individual in band pass filter design with depth of 13 in single objective approach

شکل ۸: نمودار درختی بهترین جمعیت فیلتر میانگذر با عمق درخت ۱۳ در طراحی تک‌هدفه

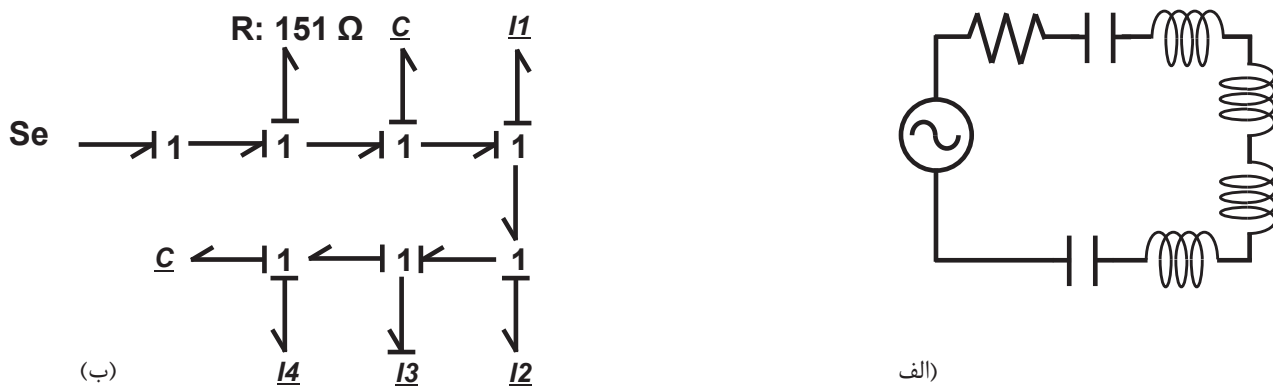
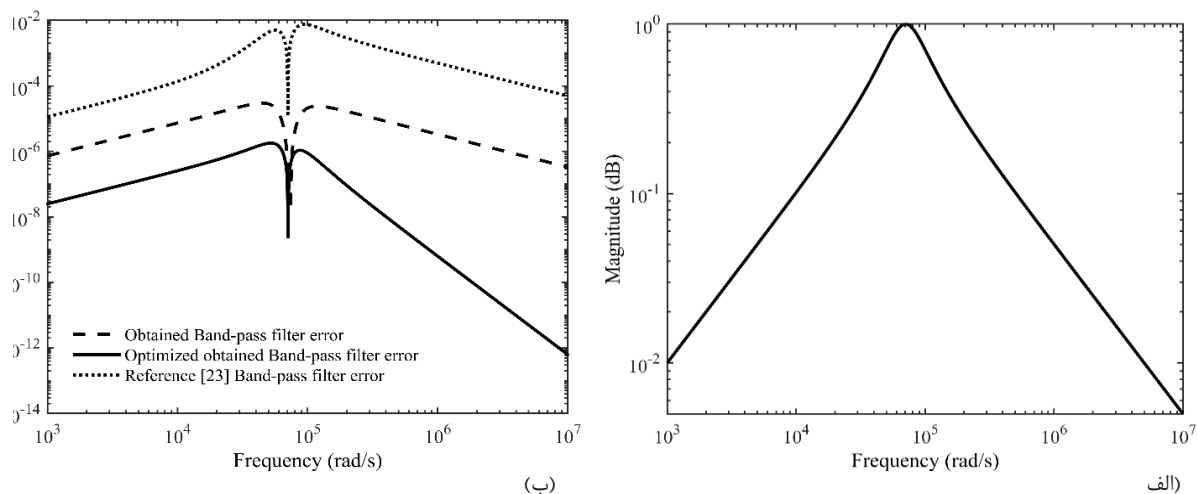


Fig. 9. Evolved band pass filter model in single objective approach: a) Electrical circuit, b) Bond graph presentation

شکل ۹: فیلتر میانگذر توسعه‌یافته طراحی تک‌هدفه: (الف) مدار الکتریکی، (ب) نمودار باندگراف



شکل ۱۰: سیستم فیلتر میان‌گذر: a) پاسخ فرکانسی سیستم مطلوب، b) مقایسه خطا مطلق پاسخ فرکانسی سیستم‌های تحقیق حاضر و سیستم تحقیق مرجع [۲۳] در حالت تک‌هدفه

جدول ۵: مقادیر تابع هدف فیلترهای میان‌گذر تحقیق حاضر و تحقیق مرجع [۲۳]

Table 5. Objective function values of band pass filter for present study and reference model [23]

مقدار	سیستم
۰/۱۶۵۳	فیلتر میان‌گذر ساده
۰/۰۰۱۱۳	فیلتر میان‌گذر بهینه‌شده
۲۷/۳۴۱	فیلتر میان‌گذر مرجع [۲۳]

پیشنهاد شده در مرجع [۲۳] مقایسه می‌شود.

تا با تنظیم پارامترهای بهترین توپولوژی، پاسخ جمعیت نهایی در بهینه‌ترین حالت ممکن قرار گیرد.

### ۳-۱-۳- فیلتر الکتریکی میان‌گذر

تاکنون تحقیق‌های بسیاری در زمینه طراحی انواع فیلتر الکتریکی صورت گرفته است. در اولین مورد تحقیق، نحوه طراحی یک فیلتر میان‌گذر بهوسیله ادغام دو روش باندگراف و برنامه‌ریزی ژنتیک مورد بررسی قرار می‌گیرد و نتایج آن با مرجع [۲۳] مقایسه می‌شود. در یک مجموعه، وظیفه فیلتر میان‌گذر، عبور محدوده خاصی از فرکانس است. این فیلتر دارای یک باندگذر در بازه فرکانسی  $10^4$  الی  $10^5$  است و طراحی آن بر اساس نمونه مرجع فیلتر میان‌گذر مرتبه دو با توروث<sup>۱</sup> [۲۳] انجام می‌پذیرد. پاسخ فرکانسی در بازه فرکانسی ۱۰

### ۳- مورد تحقیق

در این تحقیق چند نمونه از مسائل رایج از دامنه‌های الکتریکی و مکانیکی در ادغام دو روش باندگراف و برنامه‌ریزی ژنتیک، مورد بررسی قرار می‌گیرد.

### ۳-۳- دامنه الکتریکی

فیلترهای الکتریکی همواره نقش مهمی در مسائل الکتریکی و کنترلی داشته‌اند. در این تحقیق دو فیلتر میان‌گذر و میان‌گذر مورد بررسی قرار می‌گیرد و نتایج به دست آمده از این تحقیق با مدل

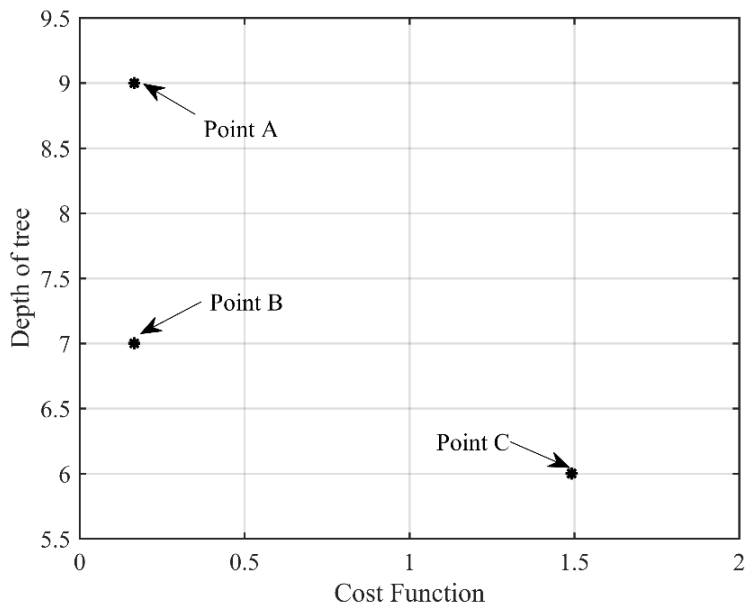


Fig. 11. Pareto front of designing band pass filter in two-objective approach

شکل ۱۱: نمودار پارتی طراحی چندهدفه فیلتر میانگذر

جدول ۶: مقایسه مقادیر توابع هدف سه نقطه طراحی A، B و C فیلتر میانگذر در طراحی دوهدفه

Table 6. Objective functions values of band pass filter for design points A, B and C in two-objective approach

نقطه طراحی	مقدار خطأ	عمق درخت
A	۰/۱۶۵۳	۹
B	۰/۱۶۵۳	۷
C	۱/۴۹۲	۶

• طراحی فیلتر الکتریکی میانگذر به صورت تک هدفه به منظور طراحی فیلتر میانگذر، ابتدا در بخش اول، طراحی به صورت تک هدفه و بر اساس تابع هدف مقدار خطای بین پاسخ فرکانسی مدل مطلوب و مدل طراحی شده انجام می گیرد. پس از انجام شبیه سازی و گذشت تعداد نسل مشخص، پاسخ بهینه استخراج می شود و فیلتر میانگذر جدید به دست می آید. نمودار درختی این جمعیت در شکل ۸ نشان داده شده است. عمق این نمودار درختی برابر ۱۳ است. همچنین پارامترهای پاسخ نهایی وارد مرحله بهینه سازی می شوند و مقادیر قبل و بعد بهینه سازی آنها در جدول ۴ نشان داده شده است. همچنین رابطه تابع هدف فیلتر میانگذر مرجع [۲۳] است.

الى  $10^6$  رادیان بر ثانیه و با ۱۰۰۰ عدد نمونه استخراج می گردد. تابع تبدیل سیستم مطلوب که مطابق با مرجع مقاله [۲۳] انتخاب شده، در رابطه (۸) نوشته شده است. مدل امپریو برای طراحی این فیلتر در شکل ۷ به صورت مدار الکتریکی و نمودار باندگراف نشان داده شده است. این مدل دارای یک مقاومت ۱۵۱ اهمی است. هدف مساله، توسعه مدل امپریو به نحوی است که پاسخ فرکانسی تابع تبدیل نسبت ولتاژ مقاومت مذکور به ولتاژ ورودی با تابع تبدیل رابطه (۸) برابر شود.

$$H_{bp\_des}(s) = \frac{5 \times 10^4 s}{s^2 + 5 \times 10^4 s + 5 \times 10^9} \quad (8)$$

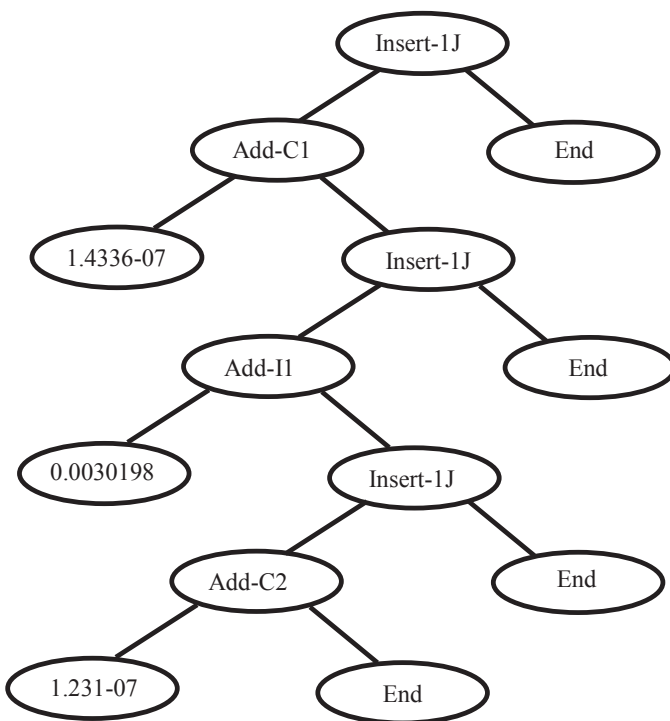


Fig. 12. GP tree of designed point B for designing band pass filter in two-objective approach

شکل ۱۲: نمودار درختی نقطه طراحی B طراحی دوهدفه فیلتر میانگذر در طراحی دوهدفه

جدول ۷: پارامترهای بدست آمده از فیلتر میانگذر در نقطه طراحی B مربوط به طراحی دوهدفه

Table 7. Values of obtained elements for design point B of band pass filter in two-objective function approach

پارامتر	مقدار عددی
C1	$1/433 \times 10^{-7}$
I1	$3/0.198 \times 10^{-3}$
C2	$1/231 \times 10^{-7}$

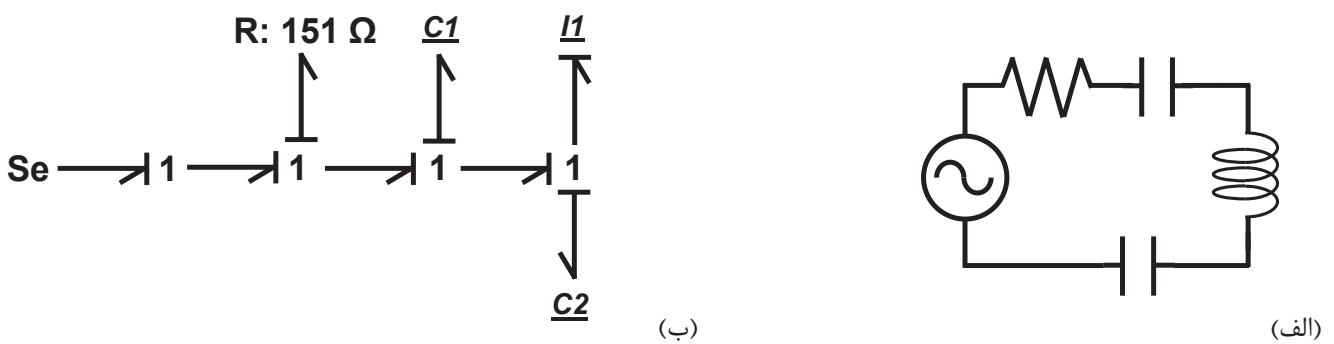


Fig. 13. Evolved band pass filter model for design point B of two-objective approach: a) Electrical circuit, b) Bond graph presentation

شکل ۱۳: مدل توسعه یافته فیلتر میانگذر بر اساس نقطه طراحی B در طراحی دوهدفه: (الف) مدار الکتریکی، (ب) نمودار باندگراف

در طراحی دوهدفه این مساله، تمامی پارامترها همانند قبل در نظر گرفته می‌شود، با این تفاوت که در این بخش از مفهوم نقاط غیر برتر پارتویی استفاده می‌گردد. پس از انجام شبیه‌سازی، یک نمودار پارتو حاوی سه نقطه غیر برتر به دست می‌آید که در شکل ۱۱ نشان داده شده است. سه نقطه موجود در این نمودار به ترتیب نقاط A، B و C نام‌گذاری می‌شوند. هر کدام از این نقاط، نمودار درختی مختص خود را دارا هستند.

در جدول ۶ مقادیر توابع هدف این سه نقطه نشان داده می‌شود. همانطور که مشخص است خطای نقاط A و B مشابه مقدار خطای طراحی تک‌هدفه شده است، با این تفاوت که مقدار عمق درخت آن‌ها به ترتیب برابر ۹ و ۷ شده است. همچنین نقطه C هم با عمق درخت ۴، خطای معادل ۱/۴۹۲ را دارا است.

در این نمودار، نقطه طراحی B به عنوان نقطه مصالحه طراحی انتخاب شده و مقادیر المان‌های آن در جدول ۷ و نمودار درختی آن در شکل ۱۲ نشان داده می‌شود.

در نمودار درختی شکل ۱۲، نشان داده شده است که سه المان به مدار فیلتر میان‌گذر اضافه می‌شود. این سه المان از آن‌جا که با اتصال‌های نوع ۱ به یکدیگر وصل شده‌اند، باید با هم به صورت سری نصب شوند. مدل بهینه مرجع [۲۲] با اضافه کردن دو المان دارای B تابع هدف به مقدار برازنده‌گی ۲۷/۳۴۱ است. مدل نقطه طراحی به دست آمده در این مقاله، با اضافه شدن سه المان، مقدار برازنده‌گی معادل ۰/۰۱۶۵۳ می‌شود. با این‌که مدل طراحی شده در این مقاله یک المان نسبت به مدل مرجع بیشتر دارد، اما با توجه به کاهش چشم‌گیر مقدار خطأ، می‌توان از آن چشم‌پوشی کرد.

پس از اعمال این نمودار درختی، مدل امیریوی فیلتر میان‌گذر توسعه پیدا می‌کند و مدل نهایی آن در شکل ۱۳ نشان داده می‌شود.

### ۲-۳-۳- فیلتر الکتریکی میان‌گذر

مساله بعدی در دامنه الکتریکی، طراحی یک فیلتر میان‌گذر با فرکانس توقف بین  $5 \times 10^4$  الی  $10^5$  است [۲۳]. این فیلتر دقیقاً بر عکس فیلتر میان‌گذر عمل می‌کند و با عبور اکثر فرکانس‌ها، محدوده خاصی را تضعیف می‌کند. رابطه تابع تبدیل این فیلتر در رابطه (۱۱) نشان داده شده است [۲۳].

$$H_{bs\_des}(s) = \frac{s^2 + 5 \times 10^9}{s^2 + 5 \times 10^4 s + 5 \times 10^9} \quad (11)$$

سیستم میان‌گذر به دست آمده از این تحقیق در رابطه‌های (۹) و (۱۰) نشان داده شده است.

$$H_{bp\_ref}(s) = \frac{4.951 \times 10^4 s}{s^2 + 4.951 \times 10^4 s + 4.945 \times 10^9} \quad (9)$$

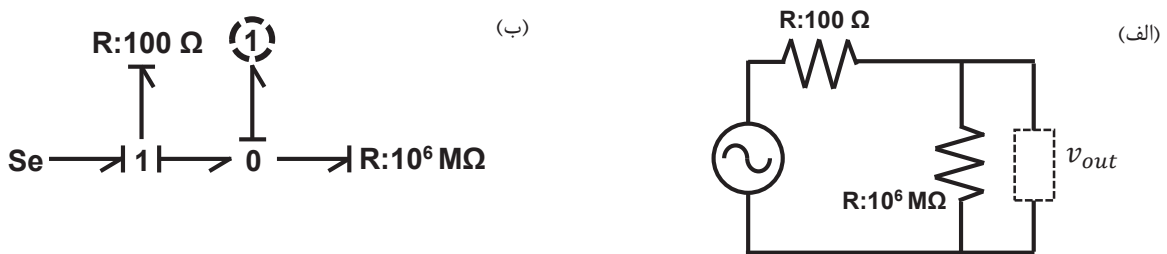
$$H_{bp\_opt}(s) = \frac{4.999999 \times 10^4 s}{s^2 + 5 \times 10^4 s + 5.000012 \times 10^9} \quad (10)$$

مشاهده می‌شود که تابع تبدیل فیلتر میان‌گذر به دست آمده از این تحقیق، تطابق بیشتری با تابع تبدیل مدل مطلوب (رابطه (۸)) دارد.

با اعمال بهترین پاسخ به نمودار امیریو، فیلتر میان‌گذر توسعه‌یافته نهایی به دست می‌آید. نمودار باندگراف و مدار الکتریکی فیلتر میان‌گذر توسعه‌یافته نهایی در شکل ۹ نشان داده شده است. در شکل ۱۰، مقایسه پاسخ زمانی فیلترهای طراحی شده در این مقاله را نسبت به مدل مرجع و مدل مطلوب می‌توان مشاهده کرد. همانطور که در شکل ۱۰ مشخص است، سیستم طراحی شده اولیه این مقاله در مقایسه با مدل مقاله [۲۲] از مطابقت بیشتری با مدل مطلوب برخوردار است. علاوه بر آن، سیستم بهینه شده پاسخ به دست آمده هم نسبت به مدل طراحی شده اولیه و همچنین نسبت به مدل مرجع، پاسخ بهتری را نشان می‌دهد. در جدول ۵ نتایج به دست آمده از این تحقیق با یکدیگر و با مدل مرجع [۲۳] مقایسه می‌شوند.

**۳- طراحی فیلتر الکتریکی میان‌گذر به صورت دوهدفه**

همانطور که در بخش تک‌هدفه مشاهده شد، بهترین پاسخ استخراج شده، دارای عمق درخت ۱۳ بود. در مسائل مربوط به استفاده از روش برنامه‌ریزی ژنتیک، مطلوب است که پاسخ نهایی علاوه بر مطابقت مناسب با مدل مرجع، از پیچیدگی کمتری برخوردار باشد. در ادغام این روش با باندگراف هم این قضیه صادق است و در طراحی فیلتر میان‌گذر ترجیح داده می‌شود که از المان‌های کمتری در سیستم نهایی استفاده گردد. در مدل نهایی ارائه شده توسط طراحی تک‌هدفه، تعداد ۶ المان به مدل امیریو اضافه شد، به همین دلیل در این بخش سعی می‌شود تا با در نظر گرفتن عمق درخت به عنوان تابع هدف دوم، تا جای ممکن سیستم نهایی ساده‌تر شود.

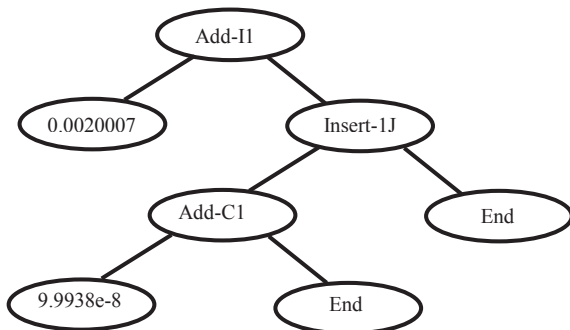


**Fig. 14.** Embryo model of band stop filter [23]: a) Electrical circuit, b) bond graph presentation

شكل ١٤: مدل امیریوی فیلتر میان ناگذر [٢٣] : الف) مدار الکترویکی، ب) نمودار باند گراف

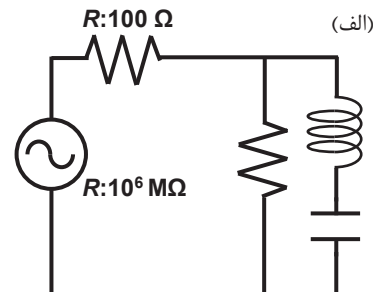
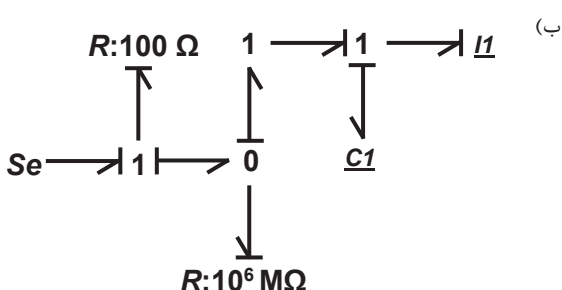
**جدول ۸:** پارامترهای بدست آمده از فیلتر میان ناگذار قبل و بعد بهینه سازی  
**Table 8.** Values of obtained elements for designed band stop filter before and after optimization

پارامتر	قبل از بهینه‌سازی	پس از بهینه‌سازی
$I1$	$2/10007 \times 10^{-3}$	$2 \times 10^{-3}$
$C1$	$9/9938 \times 10^{-8}$	$10 \times 10^{-8}$



**Fig. 15. GP tree of best individual in band stop filter design**

شکل ۱۵: نمودار درختی بهترین پاسخ فیلتر میان ناگذر



**Fig. 16.** Evolved band stop filter model: a) Electrical circuit, b) Bond graph presentation

شكل ١٦: مدل توسعه یافته فیلتر الکترونیکی میان ناگذر، الف) مدار الکترونیکی؛ ب) نمودار یاندگار

آن نشان داده می‌شود. در این مدل، خروجی سیستم از ولتاژ مقاومت دوم گرفته می‌شود.

پس از انجام عملیات شبیه‌سازی، بهترین پاسخ استخراج می‌گردد که در شکل ۱۵، نمودار درختی آن نشان داده می‌شود. با اعمال این نمودار درختی به مدل امپریو، نمودار باندگراف و مدار الکتریکی فیلتر میان‌نگذر توسعه یافته به دست می‌آید که در شکل ۱۶ نشان داده شود.

همانند مساله قیل پس از بدست آوردن بهترین توپولوژی،  
المان‌های اضافه شده درختی، نهایه، شناسایی، می‌شوند و

این نوع فیلتر در فرکانس قطع خود، دارای یک فرکانس فرورفتگی<sup>۱</sup> است. بهمین دلیل در نزدیکی این فرکانس، تعداد نمونه‌های فرکانسی باید افزایش پیدا کند. بر این اساس، بازه فرکانسی در بخش اول با تعداد ۱۰۰۰ نمونه در بازه فرکانسی  $10^2$  الی  $10^4$  در بخش دوم با تعداد ۲۰ هزار نمونه در بازه  $10^4$  الی  $2 \times 10^5$  و در بخش آخر با تعداد ۱۰۰۰ عدد نمونه در بازه  $2 \times 10^5$  الی  $10^7$  قرار می‌گیرد. مدل امپریوی این فیلتر، دو مقاومت با مقادیر ۱۰۰ و ۱۰۰۰۰۰۰ مگا اهم خواهد داشت که در شکل ۱۴، نمودار باندگراف و مدار الکتریکی

## 1 Notch Frequency

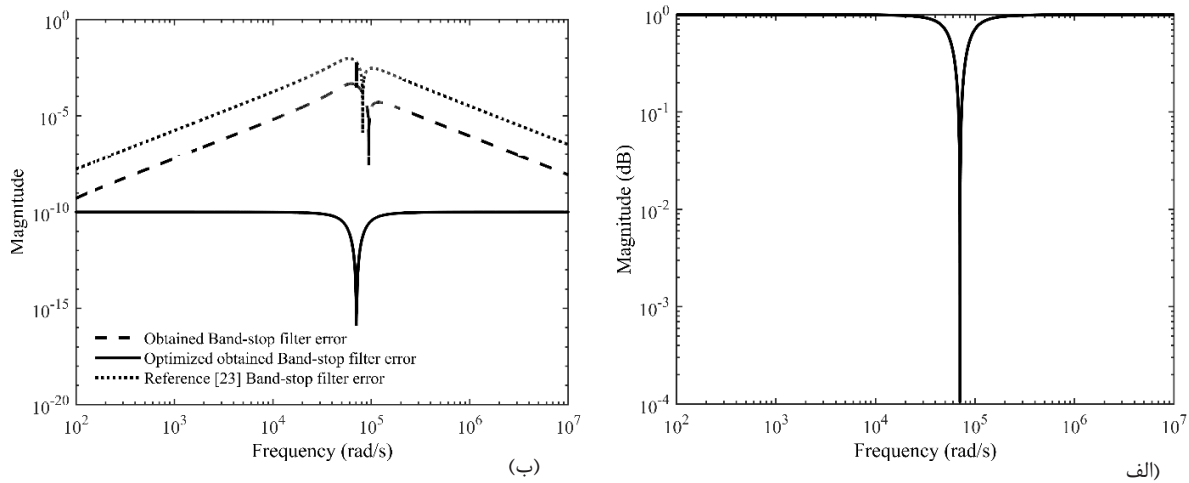


Fig. 17. Band stop filter: a) Frequency response of desired system, b) Comparison of absolute error for present study system and reference model [23] in one-objective approach

شکل ۱۷: سیستم فیلتر میان ناگذر: (الف) پاسخ فرکانسی سیستم مطلوب، (ب) مقایسه خطای مطلق پاسخ فرکانسی سیستم‌های تحقیق حاضر و سیستم تحقیق مرجع [۲۳] در حالت تک‌هدفه

جدول ۹: مقادیر تابع هدف فیلترهای میان ناگذر تحقیق حاضر و تحقیق مرجع [23]

Table 9. Objective function values of band stop filter for present study and reference model [23]

مقدار	سیستم
۲/۱۴۵۹	فیلتر میان ناگذر ساده
$۱/۳۵۶۴ \times 10^{-6}$	فیلتر میان ناگذر بهینه شده
۵۵/۸۰۴	[23] مرجع

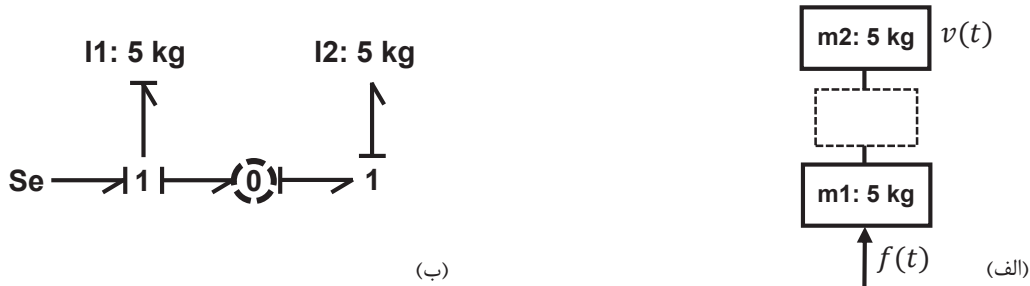
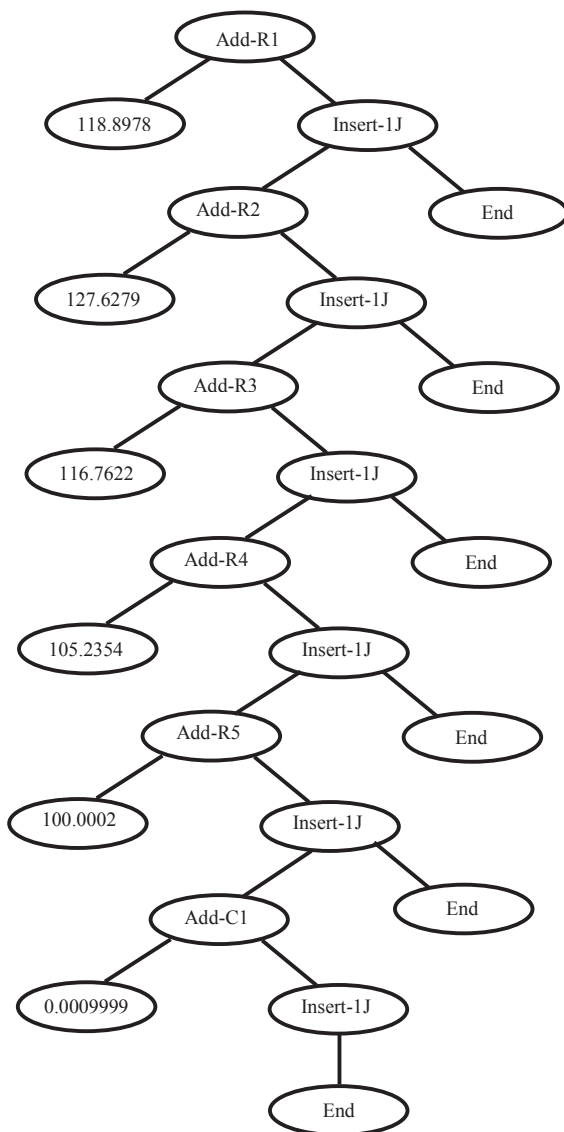


Fig. 18. Embryo model of MSC system [23]: a) Free diagram presentation, b) bond graph presentation

شکل ۱۸: مدل امبریوی سیستم جرم، فنر و میراگر [۲۳]: (الف) نمودار جسم آزاد، (ب) نمودار باندگراف

حال در شکل ۱۷، نمودار پاسخ فرکانسی تابع تبدیل سیستم طراحی شده در این تحقیق در دو حالت اولیه و بهینه شده در مقایسه با مدل مرجع و مدل مطلوب نشان داده می‌شود. همانطور که مشخص است، سیستم طراحی شده در این مقاله، در

مقادیر آن‌ها با استفاده از الگوریتم ژنتیک بهینه می‌گردند تا مقدار تابع هدف سیستم طراحی شده به حداقل مقدار خود نزدیک شود. در جدول ۸، مقادیر المان‌های بهترین پاسخ در دو حالت قبل و بعد بهینه‌سازی آورده شده‌اند.



**Fig. 19. GP tree of best individual in MSC system design with depth of 13 in single objective approach**

شکل ۱۹: نمودار درختی بهترین پاسخ طراحی سیستم جرم، فنر و میراگر با عمق درخت ۱۳ در طراحی تک‌هدفه

جدول ۱۰: پارامترهای بهدست آمده از بهترین پاسخ سیستم جرم، فنر و میراگر قبل و بعد بهینه‌سازی در طراحی تک‌هدفه

**Table 10. Values of obtained elements for designed MSC system before and after optimization**

پارامتر	قبل از بهینه‌سازی	پس از بهینه‌سازی
$R1$	۱۱۸/۸۹۷۸	۱۲۴/۶۰۱۸
$R2$	۱۲۷/۶۲۷۹	۱۲۹/۸۰۰۵
$R3$	۱۱۶/۷۶۲۲	۱۱۶/۷۴۶۱
$R4$	۱۰۵/۲۳۵۴	۱۰۳/۵۲۷۱
$R5$	۱۰۰/۰۰۰۲	۱۰۰
$C1$	۰/۰۰۹۹۹۹	۰/۰۰۱۰

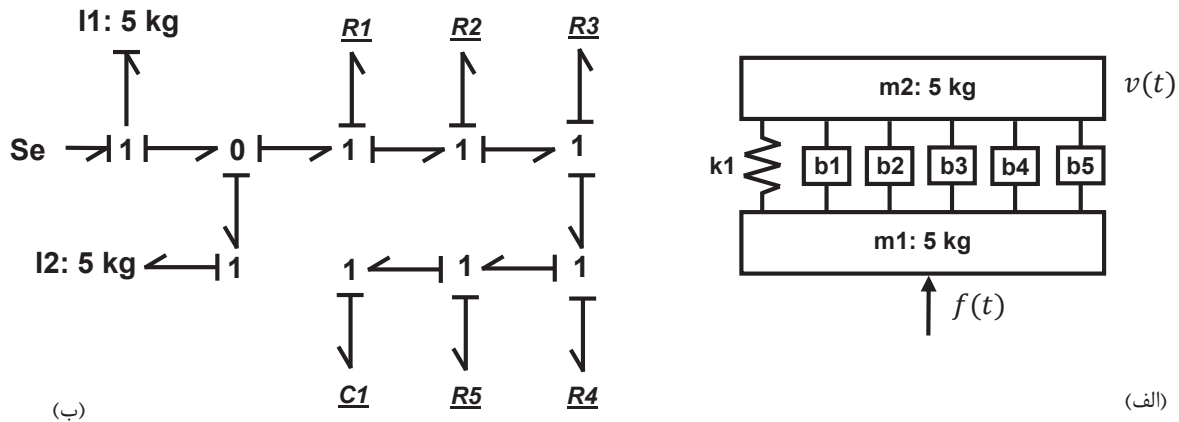


Fig. 20. Evolved model of MSC system in one objective approach: a) Free diagram presentation, b) Bond graph presentation

شکل ۲۰: پاسخ توسعه یافته سیستم جرم، فنر و میراگر در طراحی تک‌هدفه: (الف) نمودار جسم آزاد، (ب) نمودار باندگراف

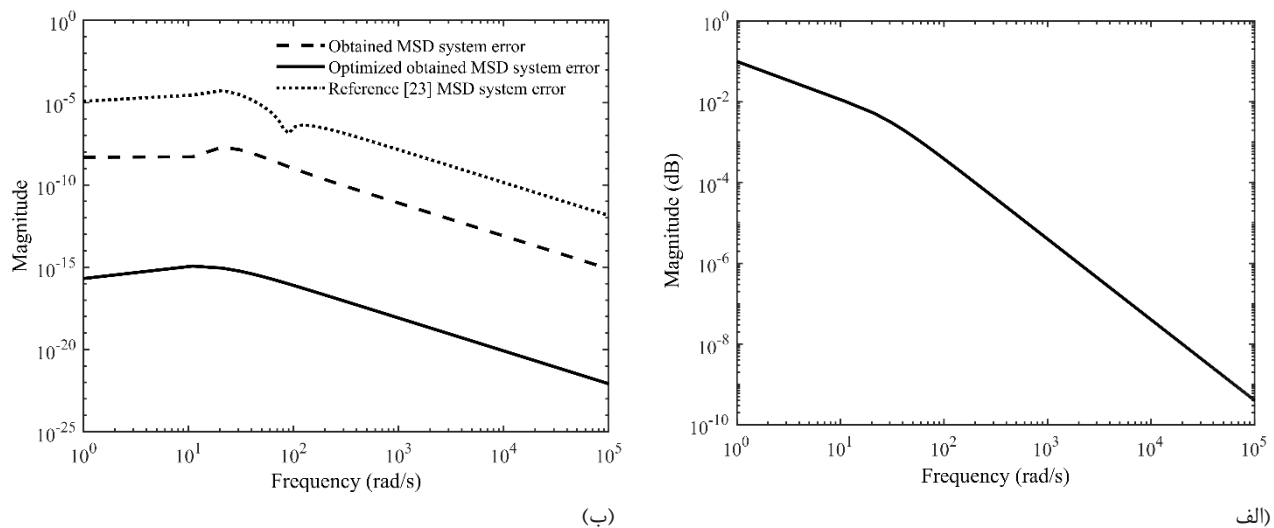


Fig. 21. MSC system: a) Frequency response of desired system, b) Comparison of absolute error for present study system and reference model [23] in the one-objective approach

شکل ۲۱: سیستم جرم، فنر و میراگر: (الف) پاسخ فرکانسی سیستم مطلوب، (ب) مقایسه خطا مطلق پاسخ فرکانسی سیستم‌های تحقیق حاضر و سیستم تحقیق مرجع [۲۳] در حالت تک‌هدفه

جدول ۱۱: مقادیر تابع هدف سیستم جرم، فنر و میراگر تحقیق حاضر و تحقیق مرجع [۲۳] در طراحی تک‌هدفه

Table 11. Objective function values of MSC system for present study and reference model [23] in the single-objective approach

مقدار	سیستم
$7/4566 \times 10^{-8}$	سیستم جرم، فنر و میراگر ساده
$1/844 \times 10^{-16}$	فیلتر جرم، فنر و میراگر بهینه‌شده
$1/6184 \times 10^{-4}$	[23] فیلتر جرم، فنر و میراگر مرجع

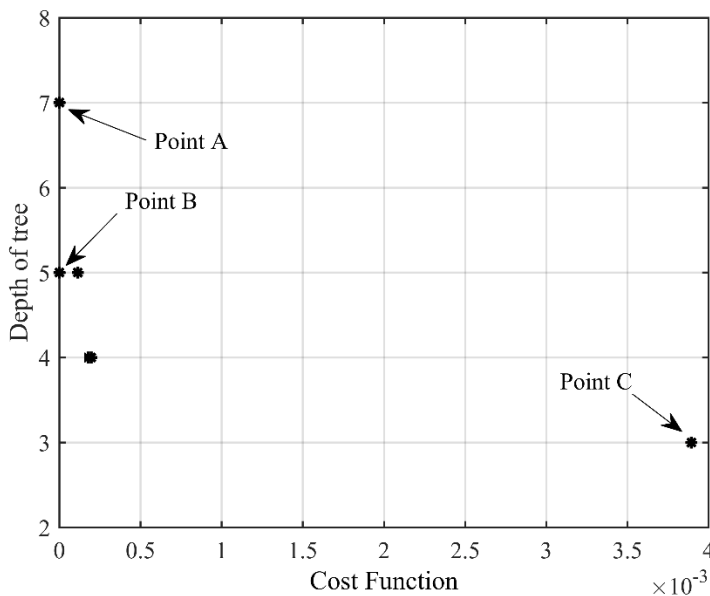


Fig. 22. Pareto front of designing MSC system in the two-objective approach

شکل ۲۲: نمودار پارتوی طراحی چندهدفه سیستم جرم، فنر و میراگر

برنامه‌ریزی ژنتیک و باندگراف،تابع تبدیل سرعت جرم  $m_2$  بر اساس ورودی نیرو به جرم  $m_1$  به عنوان مدل مطلوب در نظر گرفته می‌شود که در رابطه (۱۴) مشخص شده است [۲۳].

$$H_{msd\_des}(s) = \frac{V(s)}{F(s)} = \frac{4 \times s + 40}{s^3 + 40 \times s^2 + 400 \times s} \quad (14)$$

#### • طراحی سیستم جرم، فنر و میراگر به صورت تک هدف

مدل امپریوی سیستم جرم، فنر و میراگر در شکل ۱۸ نشان داده شده است. این مدل اولیه دارای دو جرم  $m_1$  و  $m_2$  و  $5=m_1$  kg است [۲۳] و نیروی وارد به جرم  $m_1$  به عنوان ورودی سیستم و سرعت خطی جرم  $m_2$  به عنوان خروجی سیستم در نظر گرفته می‌شود. هدف مساله، رسیدن به ترکیبی از فنر و میراگر است که پاسخ تابع تبدیل آن، با تابع تبدیل رابطه (۱۴) برابر شود.

نمودار درختی بهترین پاسخ در شکل ۱۹ نشان داده شده است. این نمودار ۵ المان R و یک المان C به سیستم اضافه می‌کند که در دامنه مکانیکی، معادل ۵ المان میراگر و یک المان فنر خواهد بود. مقادیر این المان‌ها در جدول ۱۰ نشان داده شده است. همانند بخش قبل، پارامترهای بهترین پاسخ این مساله هم توسط روش الگوریتم

حالات اولیه و مخصوصاً پس از بهینه‌سازی، خروجی بسیار بهتری را نسبت به مدل مرجع از خود نشان داده‌اند. در جدول ۹، مقادیر توابع هدف این دو مدل با مدل مرجع مقایسه شده‌اند.

با توجه به روابط (۱۲) و (۱۳)، مقایسه بین توابع تبدیل فیلتر میان ناگذر مقاله مرجع [۲۳] و تحقیق حاضر نشان می‌دهد که نتایج به دست آمده در این مقاله، تطابق بسیار بهتری با مدل مطلوب تابع تبدیل رابطه (۱۱) دارد.

$$H_{bs\_ref}(s) = \frac{s^2 + 4.978 \times 10^9}{s^2 + 5.0633 \times 10^4 s + 4.978 \times 10^9} \quad (12)$$

$$H_{bs\_opt}(s) = \frac{s^2 + 4.9999 \times 10^9}{s^2 + 4.999 \times 10^4 s + 4.9999 \times 10^9} \quad (13)$$

#### ۴-۳-دامنه مکانیکی

پس از بررسی عملکرد روش ارائه شده در دامنه الکترونیکی، عملکرد آن در دامنه مکانیکی هم مورد بررسی قرار می‌گیرد.

#### ۴-۱-راحتی سیستم جرم، فنر و میراگر

در بخش مکانیکی، به منظور بررسی عملکرد کد ادغام دو روش

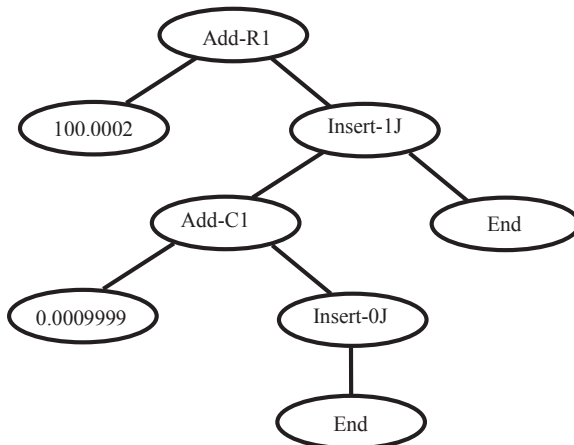


Fig. 23. GP tree of designed point *B* for designing MSC system in the two-objective approach

شکل ۲۳: نمودار درختی نقطه طراحی *B* طراحی دوهدفه سیستم جرم، فنر و میراگر

جدول ۱۲: مقایسه مقادیر توابع هدف سه نقطه طراحی *A*, *B* و *C* سیستم جرم، فنر و میراگر

Table 12. Objective functions values of MSC system for design points *A*, *B* and *C* in the two-objective approach

عمق درخت	مقدار خطأ	نقطه طراحی
۷	$7/4566 \times 10^{-8}$	<i>A</i> نقطه
۵	$7/4566 \times 10^{-8}$	<i>B</i> نقطه
۳	$0/003894$	<i>C</i> نقطه

جدول ۱۳: پارامترهای بهدست آمده سیستم جرم، فنر و میراگر در نقطه طراحی *B* در طراحی دوهدفه

Table 13. Values of obtained elements for design point *B* of MSC system in two-objective function approach

پارامتر	مقدار عددی
<i>R1</i>	۱۰۰/۰۰۰۲
<i>C1</i>	۰/۰۰۹۹۹۹۸

مقایسه شده‌اند. همچنین علاوه بر مقایسه پاسخ فرکانسی سیستم بهدست آمده در این تحقیق با مدل مرجع و مدل مطلوب، تابع تبدیل سیستم بهینه‌شده بهدست آمده از این مقاله هم در رابطه (۱۶) نشان داده شده است. با توجه به رابطه (۱۵) که تابع تبدیل مقاله مرجع [۲۳] را نشان می‌دهد، مشخص است که تابع تبدیل بهدست آمده در این تحقیق، تطابق بسیار بیشتری با مدل مرجع (رابطه (۱۴)) [۲۳] دارد.

ژنتیک بهینه می‌شوند. بر اساس نمودار درختی پاسخ نهایی، مدل توسعه‌یافته سیستم در شکل ۲۰ نشان داده شده است. پس از اعمال نمودار درختی بهترین پاسخ و بهدست آوردن مدل توسعه‌یافته، پاسخ فرکانسی تابع تبدیل آن رسم می‌شود. در شکل ۲۱ پاسخ فرکانسی این مدل نشان داده می‌شود. همانطور که مشخص است نمودار آن انطباق کامل با مدل مطلوب دارد. همچنین در جدول ۱۱ مقادیر توابع هدف مدل تحقیق حاضر و مدل مرجع با یکدیگر

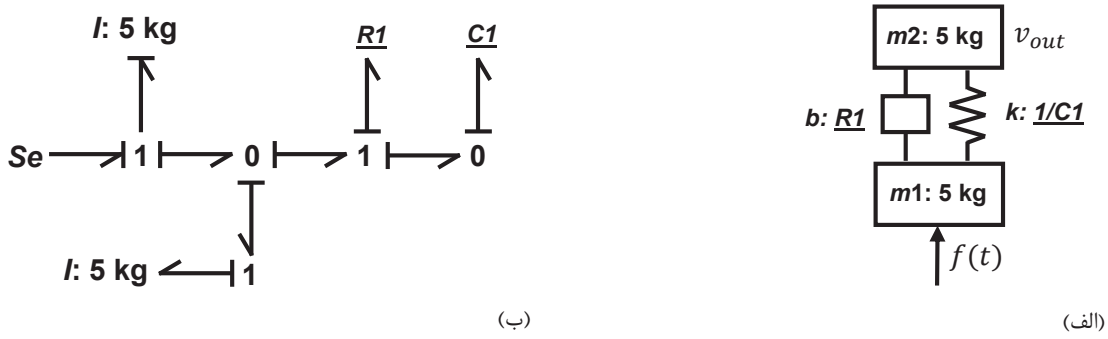


Fig. 24. Evolved MSC system model for design point B of two-objective approach: a) Free diagram presentation, b) Bond graph presentation

شکل ۲۴: مدل توسعه یافته سیستم جرم، فنر و میراگر براساس نقطه طراحی B در طراحی دو هدفه: (الف) نمودار جسم آزاد، (ب) نمودار باندگراف

جدول ۱۴: مقایسه مقدار RMS نتایج به دست آمده از موارد تحقیق انجام شده با مدل های مرجع [23]

Table 14: Comparison of RMS values for results of this study and reference model [23]

سیستم جرم، فنر و میراگر		فیلتر میان ناگذر		فیلتر میان گذر	
نقطه طراحی B با مدل مرجع [23] با افزودن ۲ المان	نقطه طراحی B با مدل مرجع [23] با افزودن ۲ المان	طراحتک هدفه با مدل مرجع [23] با افزودن ۲ المان	طراحتک هدفه با مدل مرجع [23] با افزودن ۳ المان	نقطه طراحی B با مدل مرجع [23] با افزودن ۳ المان	نقطه طراحی B با مدل مرجع [23] با افزودن ۵ کاهش
$6/827 \times 10^{-7}$	$2/748 \times 10^{-10}$	$0/0035$	$1/617 \times 10^{-4}$	$7/225 \times 10^{-4}$	$3/591 \times 10^{-6}$

#### یکدیگر مقایسه می شود.

در جدول ۱۲ مقادیر توابع هدف سه نقطه طراحی سیستم جرم، فنر و میراگر نشان داده می شود. همانند قبل، پاسخ بهینه سیستم تک هدفه در این نمودار هم به دست آمده است، اما مقادیر عمق نمودار درختی آن در نقاط طراحی A و B به ترتیب به اعداد ۷ و ۵ کاهش پیدا کرده است. در این نمودار، نقطه طراحی C با عمق درخت ۳ و با افزودن تنها یک المان، کمترین عمق درخت را دارا است.

با توجه به کمتر بودن عمق نمودار درختی نقطه طراحی B در مقایسه با نقطه A، این نقطه به عنوان نقطه مصالحه انتخاب می گردد و نمودار درختی آن در شکل ۲۳ و المان های آن در جدول ۱۳ نشان داده می شود.

مدل به دست آمده از نقطه طراحی B نسبت به مدل طراحی شده با رویکرد تک هدفه، از سادگی بسیار بیشتری برخوردار است و در عین حال عملکردی مشابه با آن دارد. در انتهای پس از اعمال نمودار درختی نقطه طراحی B به مدل اولیه سیستم جرم، فنر و میراگر، مدل نهایی این سیستم استخراج می شود و در شکل ۲۴ نشان

$$H_{msd\_ref}(s) = \frac{4.014 \times s + 38.0952}{s^3 + 40.14 \times s^2 + 380.9 \times s - 1.353 \times 10^{-12}} \quad (15)$$

$$H_{msd\_ref}(s) = \frac{4.00 \times s + 40.00}{s^3 + 40.000 \times s^2 + 400.000 \times s - 2.1477877 \times 10^{-13}} \quad (16)$$

#### • طراحی سیستم جرم، فنر و میراگر به صورت دو هدفه

با توجه به این که حداکثر عمق مجاز سیستم در طراحی تک هدفه معادل عدد ۱۳ تعریف شده بود. روند طراحی از این حداکثر عمق درخت استفاده کرد و بهترین پاسخ با عمق ۱۳ ارائه شد. اما بهتر است بهدلیل وجود المان ها و پیچیدگی زیاد سیستم، این عمق را کاهش داد. به همین منظور میزان عمق نمودار درختی به عنوان تابع هدف دوم در نظر گرفته می شود و شبیه سازی به صورت دو هدفه انجام می پذیرد. همانند بخش الکتریکی، در انتهای شبیه سازی یک نمودار پارتو به دست می آید که در شکل ۲۲ مشاهده می شود. از این نمودار سه نقطه A، B و C انتخاب می گردد و نتایج آن ها در جدول ۱۲ با

تابع هدف دوم، پاسخ‌هایی بهینه با پیچیدگی کم و در عین حال با خطای کمتر نسبت به مدل مرجع استخراج گردید.

داده می‌شود. در نتیجه در سیستم نهایی، سیستم به دست آمده نقطه طراحی B از نظر طراحی، پیچیدگی و هزینه، نسبت به سیستم شکل ۲۰، مطلوب‌تر است.

### مراجع

- [1] D.C. Karnopp, R.C. Rosenberg, Analysis and Simulation of Multiport Systems, *MIT Press, M=assachusetts*, 1968.
- [2] D.C. Karnopp, D.L. Margolis, R.C. Rosenberg, System Dynamics: A Unified Approach, 2nd Edition ed., *John Wiley & Sons*, New York, 1990.
- [3] E.S. Barjuei, S. Toxiri, G.A. Medrano-Cerda, D.G. Caldwell, J. Ortiz, Bond Graph Modeling Of An Exoskeleton Actuator, *10th Computer Science and Electronic Engineering (CEEC)*, IEEE, (2018), pp. 106-101.
- [4] S. Samaddar, P. Kushwaha, S. Ghoshal, Bond graph modelling and simulation of a variable inertia flywheel, *IOP Conference Series: Materials Science and Engineering*, IOP Publishing, (2018), pp. 012206.
- [5] D. Zhang, S. Mu, C. Chan, G.Y. Zhou, Optimization Control of SOFC Based on Bond Graph Model, *Energy Procedia*, 179-174 (2018) 152.
- [6] G. Soharu, R. Singh, T. Bera, Bond Graph Modelling and Simulation of Planar Quadruple Robot with Different Gaits, *Arabian Journal for Science and Engineering*, (13-1) (2019).
- [7] M. Louazni, A. Khouya, K. Amechnoue, M. Mussuta, R. Herbaoui, Bond Graph Modelling of Different Equivalent Models of Photovoltaic Cell, *Procedia Manufacturing*, 32 809-802 (2019).
- [8] J.R. Koza, F.H. Bennett, D. Andre, M.A. Keane, F. Dunlap, Automated synthesis of analog electrical circuits by means of genetic programming, *IEEE Transactions on Evolutionary Computation*, 128-109 (1997) (2)1.
- [9] J.R. Koza, M.A. Keane, J. Yu, F.H. Bennett, W. Mydlowec, Automatic Creation of Human-Competitive Programs and Controllers by Means of Genetic Programming, *Genetic Programming and Evolvable Machines*, -121 (2000) (1)1 164.
- [10] M.A. Keane, J. Yu, J.R. Koza, Automatic Synthesis of Both the Topology and Tuning of a Common

### ۳-۵- جمع‌بندی نتایج

بهمنظور جمع‌بندی نتایج به دست آمده، در این بخش مقادیر RMS خطای پاسخ‌های موارد تحقیق با مدل مطلوب توسط رابطه (۱۷) محاسبه می‌گردد و مقادیر آن‌ها در جدول ۱۴ با مقادیر RMS مدل‌های مرجع [۲۳] مقایسه می‌شود.

$$RMS = \sqrt{\frac{(E(1))^2 + (E(2))^2 + \dots + (E(n))^2}{n}} \quad (17)$$

### ۴- نتیجه‌گیری

در این پژوهش نحوه مدل‌سازی سیستم‌ها با روش باندگراف و نحوه ادغام روش باندگراف با روش برنامه‌ریزی ژنتیک مورد بررسی قرار گرفت. برای ادغام این دو روش، از توابع عملیاتی مشخصی استفاده شد تا نمودارهای درختی مناسب با نمودار باندگراف، تشکیل شود. با توجه به ویژگی باندگراف در مدل‌سازی یکپارچه سیستم‌های الکتریکی و مکانیکی، طراحی سه نمونه از هر دو دامنه مذکور مورد بررسی قرار گرفت. نوآوری اصلی این پژوهش در استفاده از مفهوم طراحی پارتویی با محوریت توابع چندهدفه در ادغام این دو روش و استفاده از یک بهینه‌سازی مقادیر پارامتر در طراحی تک‌هدفه بوده است. سیستم‌های مورد تحلیل این مقاله، دو فیلتر الکتریکی میان‌گذر و میان‌ناگذر و یک سیستم مکانیکی جرم، فنر و میراگر بودند. با در نظر گرفتن یک مدل اولیه از سیستم‌های مذکور و معروف یک مدل مطلوب از روش طراحی شده، مدل امیریوی باندگراف توسعه پیدا کرده و نتایج نهایی استخراج شد. پس از استخراج نتایج، پارامترهای طراحی نمودار درختی پاسخ نهایی، وارد مرحله دوم بهینه‌سازی شدند و با تنظیم مقادیر آن‌ها، بهترین پاسخ‌ها به بهینه‌ترین مقدار خود رسیدند. در نهایت، مقایسه نتایج به دست آمده با نتایج مقاله مرجع نشان دادند که روش ارائه شده در این پژوهش، پاسخ‌هایی با تطابق بسیار بیشتری با مدل‌های مطلوب را در اختیار کاربر قرار می‌دهند. در بخش آخر تحقیق هم با در نظر گرفتن عمق نمودار درختی به عنوان

- [18] R.C. Rosenberg, E.D. Goodman, S. Kisung, Some Key Issues in Using Bond Graphs and Genetic Programming for Mechatronic System Design, *Proceedings of ASME International Mechanical Engineering Congress and Exposition*, 2001.
- [19] E.D. Goodman, K. Seo, R.C. Rosenberg, Z. Fan, J. Hu, B. Zhang, Automated Design Methodology for Mechatronic Systems Using Bond Graphs and Genetic Programming, *Proceedings 2002 NSF Design, Service and Manufacturing Grantees and Research Conference*, (221-206) (2002).
- [20] S. Behbahani, C. W. de Silva, Automated Identification of a Mechatronic System Model Using Genetic Programming and Bond Graphs, *Journal of Dynamic Systems, Measurement, and Control*, 2013) 135).
- [21] S. Behbahani, C. W. de Silva, Mechatronic Design Evolution Using Bond Graphs and Hybrid Genetic Algorithm With Genetic Programming, *IEEE/ASME TRANSACTIONS ON MECHATRONICS*, 2013) (1)18.
- [22] S. Behbahani, C. W. de Silva, Niching Genetic Scheme With Bond Graphs for Topology and Parameter Optimization of a Mechatronic System, *IEEE/ASME TRANSACTIONS ON MECHATRONICS*, (2014) (1)19 277-269.
- [23] B.L. Samarakoon, L.B. Gamage, C. W. de Silva, Design evolution of engineering systems using bond graphs and genetic programming, *Mechatronics*, (2015).
- [24] S.K. Tabatabaei, S. Behbahani, C. W. de Silva, Self-adjusting multidisciplinary design of hydraulic engine mount using bond graphs and inductive genetic programming, *Engineering Applications of Artificial Intelligence*, (39-32) (2016).
- Parameterized Controller for Two Families of Plants using Genetic Programming, *GECCO 2000*, (504-496) (2000).
- [11] J.R. Koza, D. Andre, F.H. Bennett, M.A. Keane, Evolution using genetic programming of a low-distortion 96 Decibel operational amplifier, *Proceedings of the 1997 ACM Symposium on Applied Computing*, (216-207) (1997).
- [12] J.R. Koza, F.H. Bennett, D. Andre, M.A. Keane, Synthesis of topology and sizing of analog electrical circuits by means of genetic programming, *Computer Methods in Applied Mechanics and Engineering*, (2)186 482-459 (2000).
- [13] M.A. Keane, J.R. Koza, M.J. Streeter, Automatic synthesis using genetic programming of an improved general-purpose controller for industrially representative plants, *Evolvable Hardware, Proceedings. NASA/DoD Conference on*, 2002.
- [14] J.R. Koza, M.A. Keane, M.J. Streeter, W. Mydlowec, J. Yu, G. Lanza, *Genetic Programming IV: Routine Human Competitive Machine Intelligence*, Kluwer Academic Publishers, 2003.
- [15] A. Jamali, E. Khaleghi, I. Gholaminezhad, N. Nariman-zadeh, Modelling and prediction of complex non-linear processes by using Pareto multi-objective genetic programming, *International Journal of Systems Science*, 1688-1675 (2016) (7)47.
- [16] A. Tahmassebi, A.H. Gandomi, Building energy consumption forecast using multi-objective genetic programming, *Measurement*, 171-164 (2018) 118.
- [17] E.C. Pedrino, T. Yamada, T.R. Lunardi, J.C. de Melo Vieira Jr, Islanding detection of distributed generation by using multi-gene genetic programming based classifier, *Applied Soft Computing*, 215-206 (2019) 74.

برای ارجاع به این مقاله از عبارت زیر استفاده کنید:

B. Bahrami Joo, A. Jamali, N. Nariman Zadeh, Designing Optimum Multi-Domain System by Integrating Bond Graph and Genetic Programming, *Amirkabir J. Mech. Eng.*, 53(2) (2021) 1015-1038.

DOI: [10.22060/mej.2019.16086.6267](https://doi.org/10.22060/mej.2019.16086.6267)



